

陰極防蝕된 炭素鋼의 交流임피тан스特性과 最適防蝕電位*

田 大 熙 譯

韓國海洋大學 防蝕研究室

1. 緒 言

陰極防蝕에 있어서 最適의 防蝕電位를 選定하는 것은 腐蝕의 抑制는 물론이고 에너지의 節約이나 過防蝕에 의한 障害를 預방하는데에도 重要하다. 이하함에도 불구하고 実用되고 있는 陰極防蝕電位는 經驗的인 痾, 예를 들면 中性溶液中의 軟鋼¹⁻⁴⁾의 $-0.77V/SCE$, 腐蝕電位부터 $-0.3V$ 를 分極시키는 등, 理論的根拠가 稀薄한 경우가 많다.

筆者들은 前報⁵⁾에서 最適陰極防蝕電位는 파라데이 임피тан스가 極大로 되는 電位와 一致한다는 것을 理論解析에 의해서 發見하고 파라데이 임피тан스의 電位依存性을 測定함으로써 最適한 陰極防蝕電位를 決定하는 것이 理論的으로 可能하다고 報告하였다. 또 이 方法의 다른 한 利点은 防蝕의 모니터링이 可能하게 된다는 것이다. 特히 腐蝕環境이 变할 可能성이 있는 경우 防蝕效果를 모니터링한다는 것은 대단히 重要함에도 불구하고 現段階로는 被防蝕體의 電位를 測定하는 데에 不過하다. 그러므로 本報는 3.5% 食鹽水中的 炭素鋼의 例를 들어서 前報의 理論解析結果를 實際의 系에서 檢討하는 동시에 陰極防蝕모니터링의 具體的인 方法에 대해서 檢討하였다.

2. 實驗方法

2. 1 實驗槽

試料板은 直径 13mm의 炭素鋼(S40C)의 円板을 約 10mm 길이로 切取하여 热間硬化樹脂에 埋込한 後에 一端을 砂布로 1,000번까지 研磨하였고 他端은 導線을 取付한 것이며, 試驗에는 트리클로로에틸렌과 메틸알코올로 超音波洗淨한 후에 사용하였다. 따라서 이 電極의 面積은 約 1.3cm²이다. Bode線圖測定用電極은 約 100cm²의 電極面積을 가진 板이며, 試料槽과 同一하게 处理해서 사용하였다.

電解液은 海水量를 想定해서 3.5% 食鹽水를 自然通氣狀態로 사용하였다. 測定槽은 試料槽과 10mm × 10mm의 白金板對極을 対向시켜서 電解液에 浸漬하였고, 基準電極으로는 KCl飽和의 銀·塩化銀電極을 사용하였으며, 電位는 모두 이 電極基準으로 表示되었다.

2. 2 測定方法

分極曲線의 測定은 浸漬電位가 安定한 後에 1mV/sec의 電位走查速度로 浸漬電位에서 $-0.2V$ 까지 陽分極하고, 다시 다른 試料로서 同一하게 浸漬電位에서 $-1.3V$ 까지 陰分極시켰다. 또 IR drop은 自動液抵抗測定補正裝置(IR Compensator 2024, 東方技研)에 의해서 補正하였다. 임피тан스測定도 同一한 試驗槽을 사용해서 自然腐蝕狀態와 陰極防蝕狀態에서 $10^{-3} \sim 10^4$ Hz의 周波數範圍에서 周波數應答

*本報는 前報(防食技術 34, 1, 36~41—韓國腐蝕学会誌, 14, 3, 40~46, 1985)의 理論解析에 대한 實驗的研究이며, 譯者が 東京工業大學 春山研究室에서 研究하던 것을 中国의 侯保榮(Hou Bao-Rong)이 實測하고 同研究室의 西方篇가 整理하여 防食技術 36卷 1号 23~26面(1987)에 共同發表한 것임.

解析器(FRA : NF回路 S5720)에 의해서 测定하였다.

腐蝕重量減少量은 $40\text{mm} \times 125\text{mm} \times 0.2\text{mm}$ 의 炭素鋼板을 各 陰極防蝕電位로 3日間 維持한 後에 이비
트(朝日化学工業)에 의해서 表面스케일을 除去하고
超音波洗淨한 後에 重量變化量 測定함으로써 求하
였다.

3. 测定結果와 考察

3. 1. 炭素鋼의 分極曲線과 임피坦스挙動

3.1.1 分極學動

Fig. 1은 测定된 炭素鋼의 分極曲線이다. 腐蝕電位 E_{cor} 은 浸漬한 後에 垂方向으로 이동해서 약 1時間 後에 $-0.53V$ 에 도달하고 약 1日 후에는 $-0.55V$ 에서 安定되었다. 一般的으로 中性溶液中의 鉄에서 陽極側의 反応은 (1)식으로 表示된다. 이것은 鉄의 溶解反応이며, 本実験에서 그 Tafel勾配가 약 $75mV / decade$ 이다. 또 陰極側은 溶存酸素의 還元反応(2式)과 물의 還元反応(3式)이며, 本実験의 結果에서는 완전한 溶存酸素의 拡散律速으로 되지 않고多少의 電位依存性을 보인다. 後者는 약 138

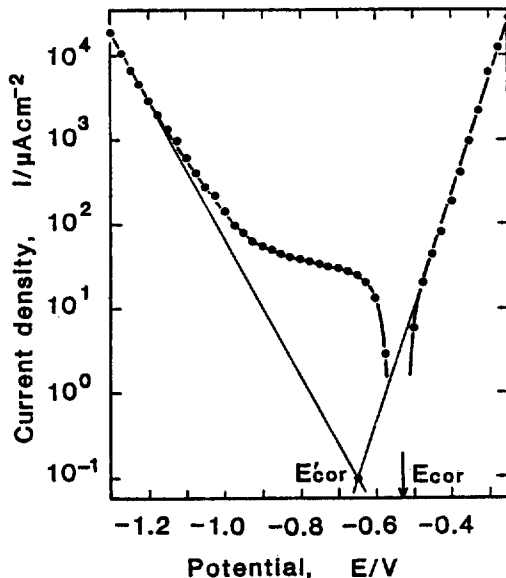


Fig. 1. Polarization curve of carbon steel in 3.5% NaCl solution. sweep rate:1 mV/sec

mV / decade의 Tafel勾配를 보인다.



3. 1. 2. 임피тан스舉動

Fig. 2는 自然電位 ($-0.53V$) 와 各 防蝕電位 ($-0.60, -0.70, -0.80, -1.00V$) 에서 测定된 임피던스 $|Z|$ 와 位相差 θ 的 周波数依存性을 나타내는 Bode線図이다.

이 Bode線図부터는 腐蝕生成物에 의한 皮膜容量이나 皮膜의 酸化還元등에 의한 摄似容量이 觀察되지 않았으므로 이 電極系는 Fig. 2의 図中에 表示한 바와 같이 파라데이 임피坦스 R_f , 電氣二重層容量 C_{de} 및 溶液抵抗 R_s 로 이루어진 単純한 等値回路로 表示된다. 이 等値回路에 의하면 測定되는 임피坦스 $|Z|$ 는 周波数 $f \rightarrow \infty$ 에서 $Z = R_s$, $f \rightarrow 0$ 에서 $Z = R_f + R_s$ 로 되므로 Fig. 2의 高周波数側에서 溶液抵抗 R_s 를, 低周波数側에서 그 각각의 陰

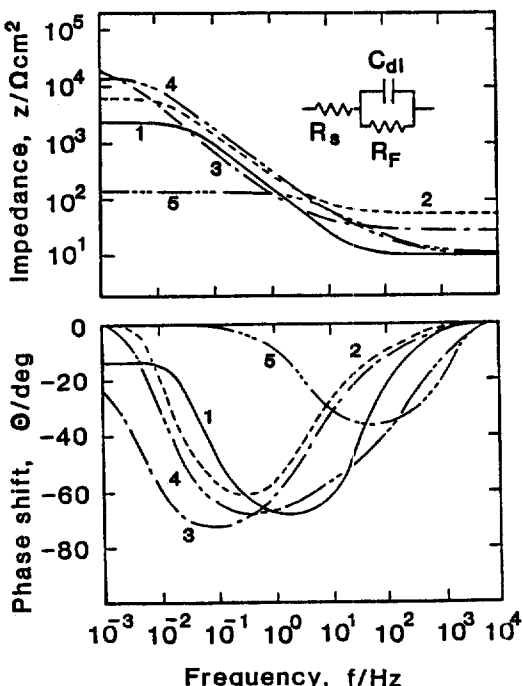


Fig. 2. Bode Diagram of carbon steel in 3.5% NaCl solution at rest potential (1), -0.60V (2), -0.70V (3), -0.80V (4) and -1.00V (5).

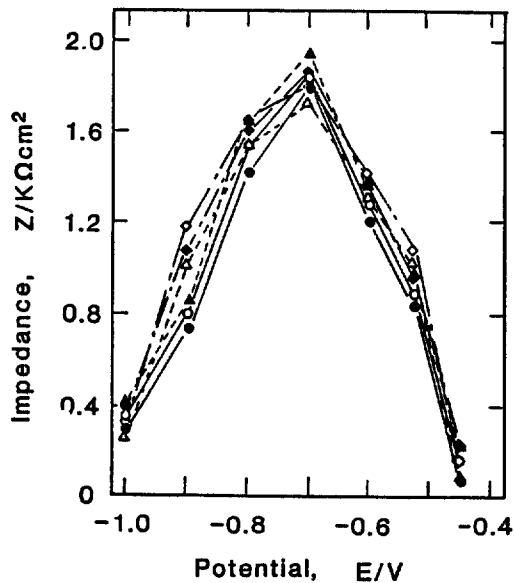


Fig. 3. Potential dependence of the faradaic impedance of carbon steel at different times in 3.5% NaCl solution.

● 3.6ks, ○ 7.2ks, ▲ 10.8ks, △ 86.4ks,
 ♦ 173ks, ◇ 260ks

極防蝕電位에서의 파라데이 임피던스 R_F 를 얻을 수 있다. 그러나 本 実験에서는 各防蝕電位에서의 파라데이 임피던스를 周波数 10mHz에서 測定하였고 그 周波数에서 位相差 θ 가 零으로 되지 않는 것은 (4)式에 의해서 $\theta \rightarrow 0$ 로 外挿한 값을 파라데이 임피던스로 하였다.

Fig. 3은 위 方法에 의해서 测定한 파라데이 임피坦스 R_F 의 電位依存性을 表示한다. R_F 는 -0.7 V 近方에서 極大值를 나타내며, 3日間의 测定時間內에서 時間に 따른 变化는 별로 크지 않았다. 또 이 파라데이 임피탄스가 極大로 되는 電位는 Fig. 1의 分極曲線上의 鐵의 溶解에 의한 陽極反応(1)과 물의 還元에 의한 陰極反応(3)의 兩者에 의해서 이루어지는 腐蝕電位 $E_{cor}^f = -0.65V$ 에 가깝다. 또 前報¹¹에서 行한 理論計算에 의하면 이 兩者の 相違는 30mV以内로 될것이라고 予想하였으며 本実驗의 結果와 거의 一致하고 있다.

3.2 防触電力斗 防触率

陰極防蝕을 함에 있어서, 金屬材料의 陽極溶解를
抑制하는 立場에서는 可能한限 防蝕電位를 낮은
電位로 할 必要가 있다. 그러나 防蝕電位가 너무
낮으면 (3)式의 水素發生反応이 增大하고 電流效率
의 低下나 塗裝의劣化, 水素脆化 등의 過防蝕에
의한 障害가 생긴다. 그러므로 筆者들은 前報에서
最適防蝕電位를 決定하기 위해서 (5), (6) 및 (7)式으
로 表示되는 防蝕率 p , 防蝕電流利用率 q 및 防蝕
実効率 γ 를 定義하였다. 여기에서 防蝕率 γ 가 最
大로 되는 電位가 最適防蝕電位로 생각된다. 但,
腐蝕速度와 溶出速度는 電流로 表示한다.

$$p = \frac{\text{自然腐蝕速度} - \text{防蝕時의 溶出速度}}{\text{自然腐蝕速度}} \dots\dots\dots(5)$$

$$q = \frac{\text{自然腐蝕速度} - \text{防蝕時の溶出速度}}{\text{印加防蝕電流}} \quad \dots \dots \dots \quad (6)$$

그러므로 이들을 計算하기 위해서 自然電位 및 各
陰極防蝕電位에서의 腐蝕速度를 3日間의 腐蝕重量
減量으로 求하였으며, 그것이 Fig. 4이다. 또 이들

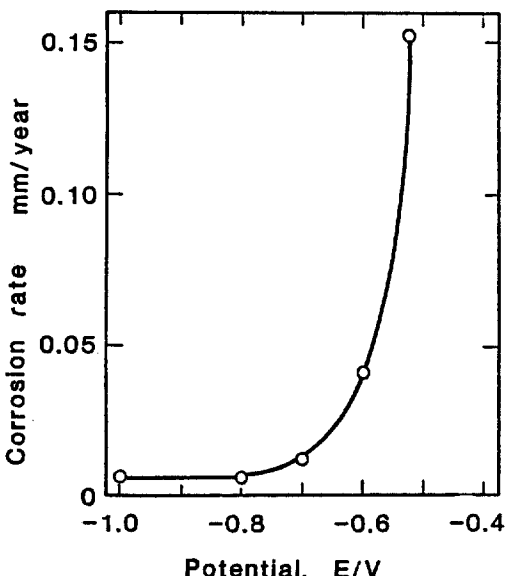


Fig. 4. Corrosion rate of carbon steel obtained from weight loss in 3.5% NaCl solution.

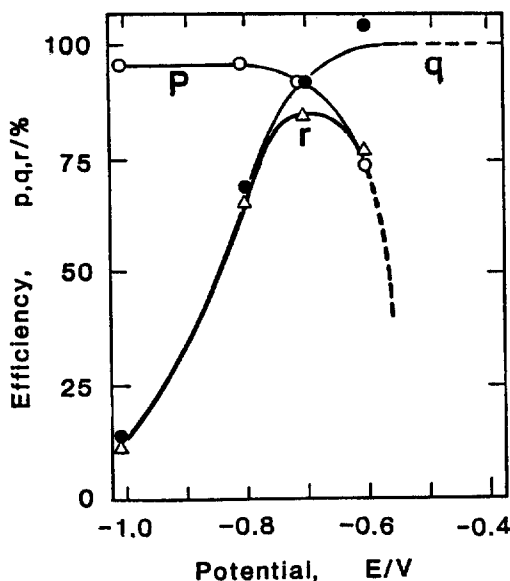


Fig. 5. Potential dependence of the efficiencies p , q and r obtained from Fig. 4. p : protection efficiency, q : ratio of current utilized for protection, γ : rational protection efficiency $\gamma = pq^q$

의 测定結果로 부터 上式에 따라 計算한 p , q 및 γ 의 値을 電位에 대해서 図示한 것이 Fig. 5이다. 이들에 의하면 그 図面에서도 明確한 것과 같이 防蝕率 p 는 低電位側에서 100%에 가깝게 되고, 反對로 防蝕電流利用率 q 는 高電位에서 100%에 가깝게 된다. 그리고 이들의 積으로 定義되는 防蝕実効率 γ 은 0.7V 近方에서 最大로 되고 最適防蝕電位는 $-0.70 \sim -0.75V$ ($-0.75 \sim -0.80V/SSCE$)라는 것을 알 수 있다. 따라서 腐蝕重量減量에서 求한 最適防蝕電位는 Fig. 3에서 파라데이 임피тан스가 最大로 되는 電位와 一致하므로 前報의 理論的計算結果에서 提案한 「파라데이 임피тан스가 最大로 되는 電位가 最適防蝕電位이다」라는 것이 確認되었다.

3.3. 陰極防蝕의 모니터링에 대하여

現在 実施되고 있는 外部電源方式의 陰極防蝕에 있어서, 被防蝕體의 電位는 繼續적 혹은 정기적으로 測定되고 있으며, 이것에 의해서 設定防蝕電位로 부터의 偏差를 監視하는 경우가 많다. 그러나

本報에 記述한 方法을 適用하면 単純한 電位管理에 어물지 않고 防蝕條件의 時間的變化에 對應한 보다 適實한 防蝕管理를 할 수 있다. 具體的으로는 다음과 같은 方法을 생각할 수 있다.

定電位 혹은 定電流에 의한 方法이라면, 各 陰極防蝕電位(혹은 電流)에 矩形波등의 變動을 주고 그에 대응하는 電流(혹은 電压)의 變化를 パラ데이 임피тан스 Z_F 로 구한다. 實際의 系에서는 裝置의 簡便面에서 印加電压을 制御하는 경우가 많을 것으로 생각되며, 이와 같은 系에서는 주어진 電压變動에 대응하는 電位와 電流의 變化를 測定해서 Z_F 를 구한다. 이 경우에 溶液抵抗이 커거나 基準電極의 位置에 따라서 ohm降下가 클 때는 그것을 補正할 필요가 있다. 또 주어진 變動의 周期는 진쪽이 바람직하다. 但, 本報의 結果에서도 나타난 바와 같이 10mHz에서도 位相差가 零에 収檢하지 않을 때가 있으므로 最適防蝕電位만을 決定하려 한다면 特定周波数에서의 相對的大小關係만을 구하면 充分하다.

以上의 方法에 따라서 防蝕하기 위해서는 印加電压(또는 電流)를 順次로 增加 혹은 減少시켜서 Z_F 가 最大로 되는 電位를 구하면 좋다. 또 被防蝕體가 크고 數個의 基準電極이 設置되어 있는 경우는 그 각각의 基準電極에 의한 測定值에서 Z_F 를 구하고, 全電極에서 Z_F 의 極大值를 넘게 하는 電位로 設定할 必要가 있다.

4. 結論

3.5%食鹽水中의 炭素鋼에 대해서 パラ데이 임피тан스의 電位依存性을 交流法으로 測定해서, $-0.7V/SSCE$ 의 電位에서 그 임피тан스의 極大值를 얻었다. 이 電位는 腐蝕重量減量에서 결정되는 最適防蝕電位 ($-0.70 \sim -0.75V/SSCE$)와 一致하므로 實際의 腐蝕系에서 前報의 理論解析이 成立한다는 것이 立證되었다. 또 パラ데이 임피тан스는 迅速測定이 可能하며, 이것에 의해서 陰極防蝕의 모니터링의 具體的方法을 檢討하였다.

文 獻

1. 水流 徹・田 大熙・春山志郎：防食技術，34,36 (1985)
2. H. H. コーリック(松田・松島訳)：腐食反応とその制御(第2版), p. 198, 産業図書(1979); J. C. Scully: The Fundamentals of Corrosion, 2nd Ed., p. 133, Pergamon(1975); 木島 茂：防食工学, p. 271, 日刊工業新聞社(1982)
3. 重野準太・福谷英二・花田政明：防食技術, 9, 159(1960)
4. A. W. Peabody: NACE Basic Corrosion Course, Chapter 5, p. 5-35, NACE (1970).